

Rapport de Projet : Logiciel de Ray-Tracing

Damian Hubert : Physique BA3

Contents

1	Introduction	3
2	Modélisation	4
2.1	Hypothèses	4
2.2	Formules	4
2.3	Champ lointain	5
3	Fonctionnement du code	5
3.1	Architecture générale	5
3.2	World	5
3.2.1	Optimisation: AoS vs SoA	6
3.2.2	Optimisation sur le calcul des angles	6
3.3	Unit Solver	7
3.3.1	Transmission	7
3.3.2	Reflexion	7

3.3.3	Mise en commun	7
3.4	Grid	8
3.4.1	Conversion en débit binaire	8
3.4.2	Optimisation par la librairie Taichi	9
3.4.3	Optimisation: pourquoi paralléliser sur la grille de rx ?	9
3.5	Data & Utils	9
3.6	Affichage	10
4	Vérification	10
4.1	Exercice du syllabus	10
4.1.1	Calcul pour un exemple à deux rebonds	11
4.1.2	Vérification avec le code	13
4.2	Vérification du tracé des rayons	13
5	Résultat de calcul	15
6	Suggestion pour améliorer la réception	16
6.1	Recherche de maximum	16
6.2	Architecture d'optimisation	16
6.3	Essais d'optimisation	17
6.4	Conclusion sur le nombre d'émetteurs	19
7	Annexes	20
7.1	Plus d'émetteurs	20
7.1.1	Trois émetteurs	20

7.1.2	Quatre émetteurs	21
7.1.3	Cinq émetteurs	21
7.1.4	Six émetteurs	22
7.2	Code	22
7.2.1	Main	22
7.2.2	Grid Solver	23
7.2.3	Optimizer	25
7.2.4	Unit Solver	25
7.2.5	World	27
7.2.6	Wall	29
7.2.7	Materials	30
7.2.8	Display	30
7.2.9	Rays	31
7.2.10	Data	33
7.2.11	Utils	34

1 Introduction

La compagnie OPERA-WCG s'apprête à ouvrir de nouveaux bureaux. Le wifi n'y étant pas encore installé, ce rapport a pour but de proposer plusieurs solutions de placement des émetteurs optimales dépendant du budget disponible. Il commencera par la modélisation du problème avec toutes ses hypothèses. Il décrira l'implémentation logicielle puis présentera une vérification par calculs manuels. Finalement le rapport parlera d'optimisation et conclura sur les solutions annoncées.

2 Modélisation

2.1 Hypothèses

- Les rayons se propagent dans un plan horizontal \equiv plan de propagation Π auquel appartiendra la normale à toutes les surfaces sur lesquelles vont interagir les rayons.
- Le champ électrique est polarisé sur l'axe perpendiculaire à Π donc on le considérera comme un scalaire E .
- On regarde le rayonnement de l'antenne en champ lointain (voir 2.3).
- Les émetteurs sont des antennes dipôles $\lambda/2$ **sans pertes** et placées verticalement ($\perp \Pi$) donc émission **isotrope** dans Π .
- L'atténuation après deux réflexions est suffisante pour ne pas devoir en calculer plus.
- La diffraction est négligée: objets $\sim 1m \gg \lambda = \frac{3 \cdot 10^8 ms^{-1}}{60Ghz} = 5 \times 10^{-3}m$. Le tracé de rayons de l'optique géométrique s'applique.
- L'épaisseur des murs est négligée dans le calcul géométrique des rayons mais pas dans le calcul des coefficients de réflexion et de transmission.
- On est dans la gamme des fréquences radio où la conductivité peut être approximée par son expression statique σ_s pour ensuite définir la conductivité équivalente des matériaux par $\sigma = \sigma_s + w\epsilon''$ traduisant la dissipation par effet Joule et diélectrique.
- La puissance est calculée en zone locale (puissance moyenne).

2.2 Formules

On calculera la puissance dans une zone locale par

$$\langle P_{RX} \rangle = \frac{1}{8R_a} \sum_{n=1}^N \left| \vec{h}_e^{RX}(\theta_n, \phi_n) \cdot \vec{E}_n(\vec{r}) \right|^2 \quad (1)$$

$$\underline{E}_n = \underbrace{\Gamma_1 \Gamma_2 \dots}_{\text{Réflexions}} \underbrace{T_1 T_2 \dots}_{\text{Transmissions}} E_0(\theta_{TXn}, \phi_{TXn}) \frac{e^{-j\beta d_n}}{d_n} \quad (2)$$

La propriété d'isotropie de l'antenne dans Π permet de définir la constante $P_{RX0} = \frac{60G_{RX}P_{RX}\lambda^2}{8R_{ar}\pi^2}$ avec $G_{RX}P_{RX} = \frac{Z_0 P_{TX}}{\pi R_{ar}}$ et on obtient

$$\langle P_{RX} \rangle = P_{RX0} \sum_{n=1}^N |\Gamma_1|^2 \dots |T_1|^2 \dots \frac{1}{d_n^2} \quad (3)$$

Le reste des formules sera vu dans l'exercice 4.1.1

2.3 Champ lointain

Il faut prendre des précautions avant d'appliquer l'hypothèse des champs lointains.

Il faut se trouver à une distance $d > d_{\text{ff}}$

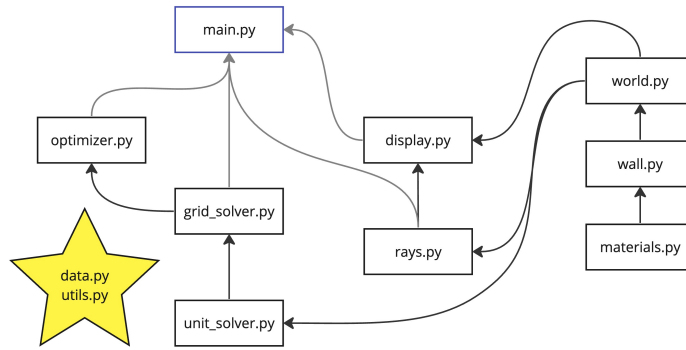
$$d_{\text{ff}} = \text{Max} \left\{ 1, 6\lambda; 5D; \frac{2D^2}{\lambda} \right\} \quad (4)$$

Avec une antenne dipole : $D = \frac{\lambda}{2}$ et donc $d_{\text{ff}} = 5\frac{\lambda}{2} = 12.5mm$

Dans le code cela sera pris en compte dans la puissance maximale admise pour le trajet de chaque rayon. Dans la fonction `calculate_power` de `unit_solver`, avant de multiplier par les coefficients T, Γ on s'assure que $\frac{P_{RX0}}{d_n^2} < \frac{P_{RX0}}{d_{\text{ff}}^2}$.

3 Fonctionnement du code

3.1 Architecture générale



3.2 World

L'objet **world** contient tous les **wall** d'abord en mémoire dynamique provisoire puis transférée dans le gpu.

Chaque objet **wall** contient ses coordonnées, ses vecteurs unitaires \vec{u} (tangent) et \vec{n} (normal) et une instance du **material** le décrivant. Cet objet **material** contient les propriétés ϵ_r, σ et pré-calcule Z, γ .

La classe **Wall** contient des méthodes `@static` pour calculer les coefficients de réflexion Γ et de transmission T en module carré.

3.2.1 Optimisation: AoS vs SoA

Une fois le transfert dans le gpu achevé, **world** va contenir ses **wall** sous forme d'**arrays** et non sous forme d'objets. Par exemple les normales de tous les murs seront dans une grande array. Un mur sera juste un indice dans ces grandes **arrays**.

Si on arrange mal notre mémoire on peut augmenter le taux de *cache miss*.

Par exemple, si on demande la normale au mur 3, il est fort probable que l'on demande aussi son vecteur tangent, ses coordonnées, etc. Il serait pratique d'avoir ses informations stockées proches les unes des autres. C'est pourquoi nous utilisons un stockage **AoS** : **array of structures** plutôt que **SoA** : **structure of arrays**

```
1 # address: low ..... high
2 # AoS:      RGBRGBRGBRGBRGBRGB .....
3 # SoA:      RRRRR...RGGGGGG...GBBBBBB...B
```

On accomplit cela dans le code au moment d'allouer la mémoire dans des **dense fields** de taichi

```
1      ti.root.dense(ti.i, self.m).place(self.r0, self.r1, self.u, self.n, self.l,
2      self.gamma, self.Z, self.eps_r)
3      # instead of
4      # ti.root.dense(ti.i, self.m).place(self.r0)
5      # ti.root.dense(ti.i, self.m).place(self.r1)
6      # and ...
7      # which would give us a SoA
```

Bien que beaucoup de murs partagent leur matériaux en communs, ceux-ci ont été dupliqués. Cela a rendu le code plus simple (car accès à toutes les propriétés du mur par un indice) et à peut être aussi rendu l'accès mémoire plus localisé mais ça n'a pas été vérifié.

3.2.2 Optimisation sur le calcul des angles


Passer par les fonctions trigonométriques arccos puis cos et sin est lent pour l'ordinateur.

Wall ne calcule donc pas les angles mais plutôt les fonctions trigonométriques directement comme montré dans l'exemple 4.1.1.

3.3 Unit Solver

Le fichier **unit_solver** contient les méthodes pour calculer la puissance moyenne qu'on obtiendra en un point *rx* depuis un point *tx* en calculant chaque réflexion et transmission de tous les rayons possibles.

3.3.1 Transmission

Une fonction **find_intersection(r0, u, p2, q2)** pour trouver l'intersection entre un mur et un rayon en renvoyant un paramètre *t* qui donne le point par $\vec{r} = t\vec{u}$.  ce paramètre ne garantit pas encore que l'on a une intersection physique. Pour cela, il faut passer à la fonction suivante: **intersect(u, n, p1, q1, p2, q2)** (avec p1, q1 les points extrêmes du mur et q2, p2 le rayon). Dans cette fonction on vérifie d'abord que p2 et q2 soient chacun d'un côté différent du mur grâce à leur produit scalaire avec \vec{n} , puis on regarde le point d'intersection ip et on détermine par $sign(< ip - p1, u >)? = sign(< ip - q1, u >)$ si il fait partie du mur ou non.

On peut maintenant définir **wall_transmission(world, p2, q2, index1=-1, index2=-1)** qui va prendre un rayon et itérer parmi tous les murs pour déterminer avec la fonction **intersect** si il faut calculer un coefficient de transmission (par la fonction dans **Wall**). Dans ce cas, il sera multiplié au coefficient global de transmission renvoyé par la fonction. Si l'on sait que le rayon part d'un mur ou rebondit sur un mur, **index1,2** permet de les enlever de la boucle.

3.3.2 Reflexion

Avant de traiter les réflexions, on prévoit la fonction **bounce_cond(r0, n, tx, rx)** pour vérifier l'existence physique de cette dernière par rapport au mur avec $sign(< n, p2 - r0 >)? = sign(< n, q2 - r0 >)$ (*r0* un point du mur et *p2, q2* le rayon)

3.3.3 Mise en commun

En mettant ces fonctions en commun, on arrive à la fonction principale **calculate_power(world, tx, rx)** dont le but va être de remplir la formule (3).

- 0 Elle calcule d'abord la composante directe avec **wall_transmission** et la distance entre *tx* et *rx*
- 1 Puis on passe au premier itérateur des murs: au sein de celle-ci, on utilise le tracé géométrique pour obtenir le trajet, on vérifie si la réflexion est physique avec **bounce_cond**, on trouve le point d'intersection avec **find_intersection**,

on vérifie par une méthode analogue à celle dans `intersect` si ce point fait partie du mur. Et enfin on calcule les coefficient de transmission de chaque rayon avec `wall.transmission` et les coefficient de réflexion pour chaque rayon avec la méthode statique `Wall.get_rn2` (module carré).

- 2 On place dans ce premier itérateur le deuxième pour traiter des réflexions doubles. On vérifie d'abord qu'on ne fait pas une réflexion double sur le même mur. Ensuite, le tracé géométrique demandant d'abord le calcul du dernier (deuxième) point d'intersection, on procède aux mêmes vérifications et calculs en marche arrière jusqu'à retomber sur tx puis de calculer les coefficients pour chaque rayon.

Remarque

L'exécution d'un code dans le gpu rend la définition d'un algorithme récursif inutile. Étant donné que la récursion n'est pas disponible, pour une fonction de récursion qui se rappelle n fois, le compilateur devrait générer et compiler une fonction non récursive pour chaque changement de n . Le nombre de réflexions étant seulement de 2, il n'est pas grave d'explicitier le tout en 2 for-loops.

3.4 Grid

La classe Grid parallelise `calculate_power` de `unit_solver` sur une grille 3D de rx pour n émetteurs. La puissance moyenne est donc calculée pour tous ses points. On sélectionne ensuite la puissance maximale parmi les n émetteurs. Ceci fait, on peut convertir le tout en *dbm* et en débit binaire.

3.4.1 Conversion en débit binaire

On a une relation linéaire de la puissance en *dbm* vers le débit binaire en log.

On construit donc une fonction pour passer de l'un à l'autre qui ne devrait être utilisée que dans la gamme (-90dbm à -40dbm).

Sensibilité	Débit binaire	log(Débit binaire)
-90dBm	50Mb/s	$6 + \log(50)$
-40dBm	40 Gb/s	$9 + \log(40)$

$$f: x \in [-90, -40] \longrightarrow 6 + \log(50) + \frac{3 + \log(40) - \log(50)}{50}(x + 90)$$

$$\text{débit binaire} = 10^{f(x)}$$

3.4.2 Optimisation par la librairie Taichi

La librairie python `taichi` permet d'une part de compiler des fonctions python en langages plus rapide et d'autre part de paralléliser les for-loop au scope d'exécution le plus haut dans les fonctions ayant le décorateur `@ti.kernel`. La compilation et l'exécution en parallèle dans le cpu permettent déjà d'atteindre l'ordre de $10^{-2}s$ puis avec le passage au gpu : $10^{-3}s$ pour une grille de cellules $10cm \times 10cm$ sur le plan de OPERA-WCG. Ces calculs sont effectués sur une puce m1 pro qui se situe selon les benchmark entre une Nvidia GeForce RTX 3050 Ti (Laptop) et 4050 (Laptop)¹

Dans ce temps de calcul, on compte aussi le temps pour pouvoir utiliser les données en dehors du contexte de taichi sans quoi il semblerait que l'on puisse descendre encore un peu sur le temps d'exécution pour l'option gpu (l'option cpu ne souffrant pas de ces transferts de données). L'idéal aurait alors été de centrer la conception du programme autour de l'algorithme d'optimisation pour éviter ces transferts gpu-cpu. Cela aurait néanmoins empêché d'utiliser une librairie externe d'algorithmes d'optimisation et aurait rendu le développement bien plus long. Le temps d'exécution étant bien assez court, cela n'a pas été requis.

3.4.3 Optimisation: pourquoi paralléliser sur la grille de rx ?

Une autre option aurait été de paralléliser le calcul sur la double for-loop de `calculate_power` directement. Seulement, on cherche à paralléliser le plus d'éléments possibles et si on compare ces deux options:

- 17 murs, double for-loop : $\rightarrow 17^2 = 289$
- grille de $0.5m$ minimum, calcul en tout point de la grille : $\rightarrow \frac{8}{0.5} \times \frac{15}{0.5} = 480$ (sans compter le facteur n pour les émetteurs)

Il est donc préférable de paralléliser sur la grille.

3.5 Data & Utils

`data.py` & `utils.py` sont partagés par tous les fichiers, ils contiennent d'une part toutes les données pour caractériser le problème et d'autre part des imports et méthodes souvent utilisés

Les données introduites dans le logiciel pour OPERA-WCG et pour le problème illustratif du syllabus d'exercice sont dans l'annexe [7.2.10](#)

¹[notebookcheck.net benchmark](https://notebookcheck.net/benchmark)

3.6 Affichage

display s'occupe de plot les données de la grille dans un repère orthonormé. Il peut faire appel à **Rays** qui contient tous les rayons à (0,1,2) rebonds pour un couple (tx, rx) donné.

L'objet **display** fera aussi appel à **world** pour qu'il utilise **display** pour dessiner les murs avec le code couleur de la table 1.

Table 1 Code couleur

Matériaux	ϵ_r	$\sigma[S/m]$	couleur
Béton	6,4954	1,43	■
Cloison	2,7	0,05346	■
Vitre	6,3919	0,00107	■
Paroi métallique	1	10^7	■

Il y aura 2 affichages :

- Affichage de la puissance moyenne en *dbm* bornée de $-40dbm$ à $-90dbm$ (on transforme tout ce qui est en dessous de $-90dbm$ en $-\infty \equiv 0W$)
- Affichage du débit binaire en *GB/s* par 3.4.1.

4 Vérification

4.1 Exercice du syllabus

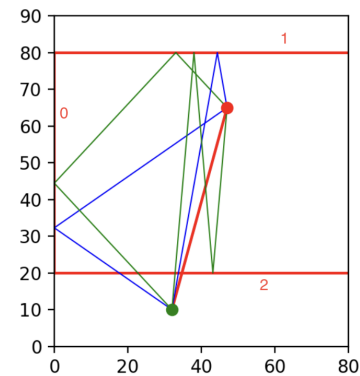


Fig. 1 Sortie graphique du programme quand on entre les données de l'exercice. Les axes sont en [m]. Les murs sont nommés de 0 à 2

```

1 direct : Prx 3.336E-10 <-
2 first bounce : wall 0 : Prx 1.039E-11 <-
3 second bounce : wall 0,1 : Prx 4.136E-12 <-
4 first bounce : wall 1 : Prx 9.554E-12
5 second bounce : wall 1,2 : Prx 1.287E-13
6 total rays: 5

```

Fig. 2 stdout du programme quand on entre les données de l'exercice

On utilise ici la classe **Rays** pour le calcul, car celle ci possède une fonction `calculate_power` modifiée pour stocker les points de rayons et afficher les puissances partielles (pour chaque composante à (0,1 ou 2) réflexions)

Les paramètres pour ce problème sont en commentaire dans l'annexe 7.2.10.

4.1.1 Calcul pour un exemple à deux rebonds

Les formules importantes ont été écrites dans *mathematica* pour faciliter le calcul avec les nombres complexes.

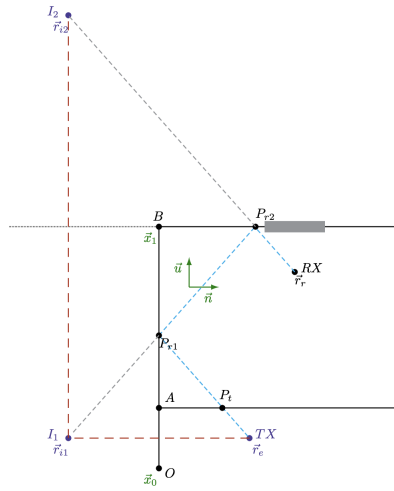


Fig. 3 Tracé géométrique du problème, $tx = (32, 10)$ et $rx = (47, 65)$

On commence par trouver géométriquement les points $\vec{r}_{i1}, \vec{r}_{i2}$

$$\vec{r}_{i1} = (-32, 10) \qquad \vec{r}_{i2} = (-32, 150)$$

On voit qu'on aura une transmission en Pt et 2 réflexions en $Pr1, Pr2$

On doit trouver ces points d'intersection avec les murs. Pour cela il suffit de faire une interpolation linéaire de 2 points du rayons et de regarder le point x ou y pour lequel on intersecte le mur. La connaissance de Pt requiert la connaissance de $Pr1$ qui lui même requiert $Pr2$.

Commençons donc par $Pr2$: On fait une interpolation linéaire de \vec{r}_{i2} à $\vec{r}_r \equiv f(x)$

$$f(x) = y_{i2} + \frac{y_r - y_{i2}}{x_r - x_{i2}}(x - x_{i2}) = 150 - \frac{85}{79}(x + 32)$$

on cherche x pour avoir $y = f(x) = y_{mur1} = 80$

$$f(x) = 80 \iff x = 33.05 = x_{Pr2}$$

Finalement : $Pr2 = (33.05, 80)$

On peut effectuer des calculs presque identiques et obtenir $Pr1 = (0, 44.435)$ et $Pt = (22.707, 20)$

Il ne reste qu'à calculer les angles d'incidence $\cos(\theta_i), \sin(\theta_i)$ et de transmission $\cos(\theta_t), \sin(\theta_t)$ avant de pouvoir calculer les coefficients de transmission et de réflexion.

Commençons par les angles de la transmission sur le mur 2 (voir figure 1)

$$\cos \theta_i = \left| \left\langle \frac{\vec{d}}{\|\vec{d}\|}, \vec{u} \right\rangle \right| = \frac{d_y}{\|\vec{d}\|} = 0.732532 \quad (5)$$

Dans cette formule (5), on a pris \vec{u} pour avoir le vecteur normal à la surface du mur et on a défini un vecteur d'incidence $\vec{d} = Pr1 - \vec{r}_e$

$\sin(\theta_i)$ est obtenu simplement par $\sqrt{1 - \cos(\theta_i)^2} = 0.680733$

Ensuite l'angle de la transmission dans le mur est donné par $\sin(\theta_t) = \frac{\sin(\theta_i)}{\sqrt{\epsilon_r}} = 0.31071$ et $\cos(\theta_t) = \sqrt{1 - \sin(\theta_t)^2} = 0.950505$

Le coefficient de réflexion de surface pour une polarisation perpendiculaire

$$\Gamma_{\perp}(\theta_i) = \frac{Z_m \cos \theta_i - Z_0 \cos \theta_t}{Z_m \cos \theta_i + Z_0 \cos \theta_t} = -0.48052 + 0.014901j \quad (6)$$

On définit $s = \frac{l}{\cos(\theta_t)} = 0.157811$ la distance parcourue dans le mur.

$$T_m(\theta_i) = \frac{(1 - \Gamma_{\perp}^2(\theta_i)) e^{-\gamma_m s}}{1 - \Gamma_{\perp}^2(\theta_i) e^{-2\gamma_m s} e^{j\beta 2s \sin \theta_t \sin \theta_i}} = 0.62948 + 0.0890456j \quad (7)$$

On calcule de manière similaire les paramètres pour les 2 réflexions en utilisant

$$\Gamma_m(\theta_i) = \Gamma_{\perp}(\theta_i) - (1 - \Gamma_{\perp}^2(\theta_i)) \frac{\Gamma_{\perp}(\theta_i) e^{-2\gamma_m s} e^{j\beta 2s \sin \theta_t \sin \theta_i}}{1 - \Gamma_{\perp}^2(\theta_i) e^{-2\gamma_m s} e^{j\beta 2s \sin \theta_t \sin \theta_i}} \quad (8)$$

$$\Gamma_{m,1} = -0.471151 + 0.251816j \quad \Gamma_{m,2} = -0.419027 + 0.246183j \quad (9)$$

On voit géométriquement (figure 3) que la distance est $|\vec{r}_r - \vec{r}_{i2}|$ et en utilisant la formule (3):

$$\langle P_{RX} \rangle = P_{RX0} \times |T_m|^2 \times |\Gamma_{m,1}|^2 \times |\Gamma_{m,2}|^2 \frac{1}{d^2} = 4.127 \times 10^{-12} \quad (10)$$

4.1.2 Vérification avec le code

Dans l'exercice du syllabus, vu qu'on calcule les champs, on obtient des phénomènes d'interférence non présents dans la puissance moyenne. Il faut donc faire attention à bien prendre les résultats qui utilisent la puissance moyenne.

Table 2 Vérification des puissances moyennes [W]

Murs	Puissance Syllabus ou Calculée	Puissance Code
direct ×	3.33×10^{-10}	3.336×10^{-10}
une réflexion avec 0	1.039×10^{-10} ²	1.039×10^{-10}
deux réflexions avec 0 puis 1	4.127×10^{-12}	4.136×10^{-12}

4.2 Vérification du tracé des rayons

On se place dans le cas un peu plus complexe des bureaux de OPERA-WCG.

²Dans le syllabus on a le résultat en dBm de la puissance moyenne comptant la transmission directe et le premier rebond sur le mur 0. En passant en W et en soustrayant la composante directe, on obtient bien le résultat affiché

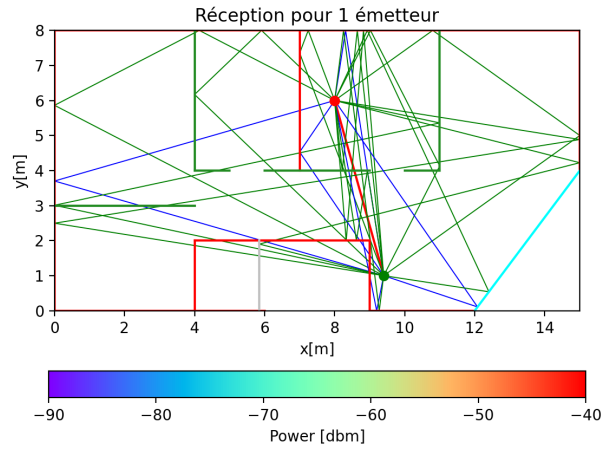


Fig. 4 $tx = (9.4, 1.0)$, $rx = (8.0, 6.0)$

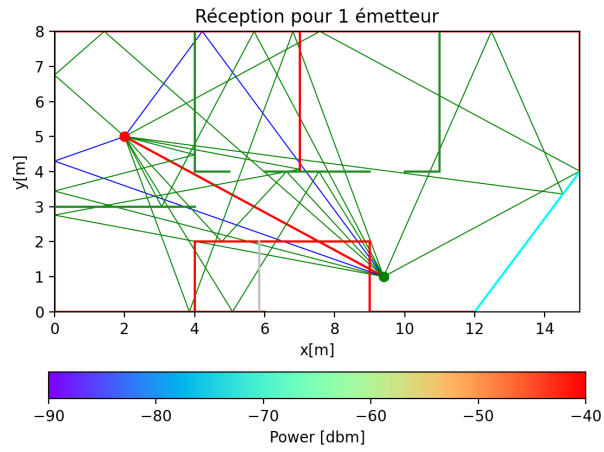


Fig. 5 $tx = (9.4, 1.0)$, $rx = (2.0, 5.0)$

Tous les rayons semblent être explicables par l'optique géométrique.

5 Résultat de calcul

Pour les bureaux d'OPERA-WCG on obtient la figure 6

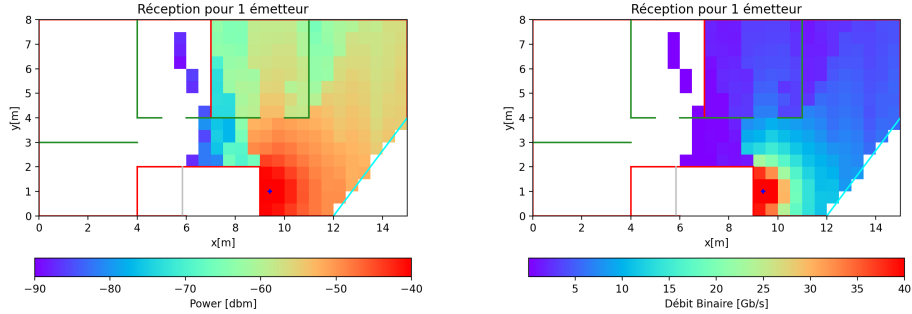


Fig. 6 Émetteur dans la position suggérée : $t_x = (9.4, 1.0)$; grille de pas 0.5m

La profondeur de peau de notre béton à cette fréquence : $\delta = \frac{1}{105.63} < 1cm$. Les murs ayant une épaisseur de 30cm, il n'y aura jamais aucune onde qui passera au travers pour atteindre l'ascenseur. On supposera donc que l'ascenseur n'est pas présent pour réduire le temps de calcul. La figure 7 montre effectivement que cet ascenseur n'a pas d'impact.

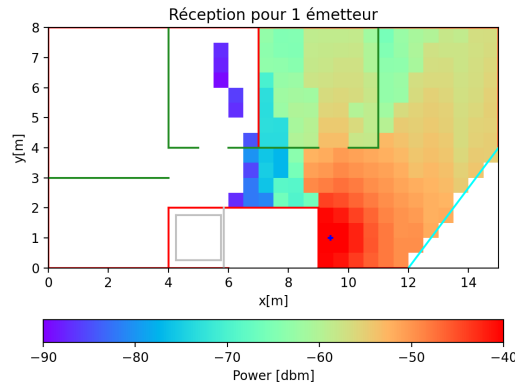


Fig. 7 Émetteur dans la position suggérée : $t_x = (9.4, 1.0)$; grille de pas 0.5m, **avec ascenseur**

On constate aussi qu'un unique émetteur dans la position suggérée ne suffira pas à couvrir l'ensemble des bureaux.

6 Suggestion pour améliorer la réception

Le but est de trouver un compromis entre le nombre d'émetteurs (donc prix) et couverture³.

6.1 Recherche de maximum

Pour commencer, il faut savoir où placer ces émetteurs. pour cela, nous allons utiliser un algorithme de recherche de maximum global. Nous sommes ici en présence d'un problème peu continu car changer un peu la position d'un émetteur peut d'un coup lui permettre d'atteindre une nouvelle piece. Dans ce cadre peu continu, les algorithmes conventionnels purement déterministes auront du mal à converger.

C'est pourquoi il a été nécessaire de prendre un algorithme avec une partie un peu plus aléatoire, d'évolution générationnelle. Celle-ci à été mélangée avec un algorithme de manipulation géométrique pour l'étape de mutation. Cet algorithme est appelé **évolution différentielle**.

Nous prenons l'implementation de la librairie *scipy*

```
scipy.optimize.differential_evolution(func, bounds, args=(n),
strategy='best1bin', popsize=40)
```

- **func** sera notre fonction coût (voir 6.2)
- **bounds** délimite la zone dans laquelle on peut placer nos émetteurs (ici : l'appartement)
- **pop.size** augmentera la population d'essais ce qui augmentera nos chances de tomber sur le maximum global.

6.2 Architecture d'optimisation

Le plus important ici est de trouver une fonction coût pour emmener l'algorithme vers la solution de manière rapide et fiable. Ici nous prenons $f = \sqrt{\sum_{i,j} power[i,j]^2}$ (rms) que l'algorithme tentera de maximiser. Prendre le carré des valeurs de puissance

³Le terme couverture traduit que l'on privilégie d'avoir une bonne reception partout plutôt qu'une excellente réception localisée

permet de punir d'avantage les endroits où la reception est mauvaise et d'augmenter le gradient des valeurs de f ce qui augmente la vitesse de convergence.

Pour focaliser l'algorithme sur la maximisation de la couverture, on ignore les valeurs de puissance au dessus de -50dbm qui ne représentent que la puissance à immédiate proximité de l'antenne. On peut effectivement voir sur la figure 8 que cette restriction mène effectivement à une amélioration de la couverture globale.

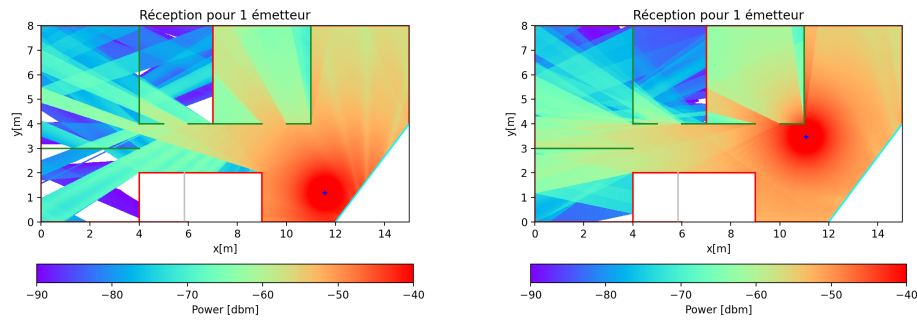


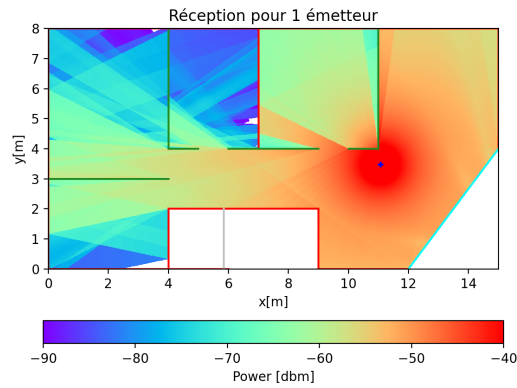
Fig. 8 A gauche : coupure à -40dbm ; A droite : coupure à -50dbm

L'optimisation s'effectue sur une grille de pas 0.2m . Les coordonnées optimales trouvées sont ensuite affichées avec une grille de pas 0.05m

L'algorithme a eu tendance à placer l'antenne pile dans un mur, ce qui empêchait la détection de la transmission et donc de l'atténuation en résultant. Il a donc fallu ajouter une condition pour éviter cet endroit.

6.3 Essais d'optimisation

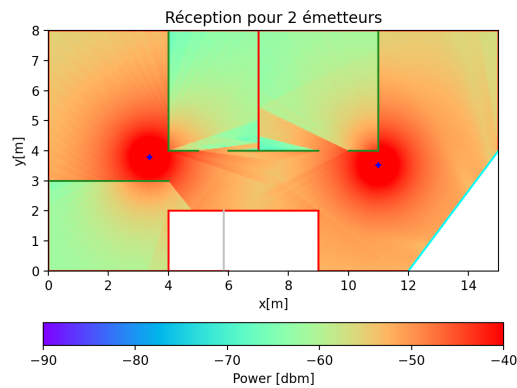
Essayons avec un émetteur.



On voit que cet emplacement offre une meilleure couverture mais que ça reste insuffisant pour couvrir l'ensemble de l'espace correctement.

En réalité, on peut placer un émetteur plus au milieu de l'appartement et obtenir une meilleure couverture mais avec une puissance totale (sans coupure à -50dbm) et rms sensiblement plus faible. Dans nos critères, couper à -50dbm est très arbitraire et pourrait être adapté en fonction du nombre d'émetteurs et donc la puissance qu'on pourrait espérer avoir globalement mais c'est une valeur qui fonctionne bien lorsque l'on cherche à assurer un débit de l'ordre de 10Gb/s.

Regardons ce qui se passe quand on ajoute un 2ème émetteur.



On parvient à rester $\geq -65db$ partout ce qui équivaut à $1.4Gb/s$.

Des exemples avec plus d'émetteurs sont dans les sous annexes de 7.1. Ils seront discutés plus tard.

6.4 Conclusion sur le nombre d'émetteurs

Plutôt que de montrer à chaque fois la répartition, regardons des variables plus globales.

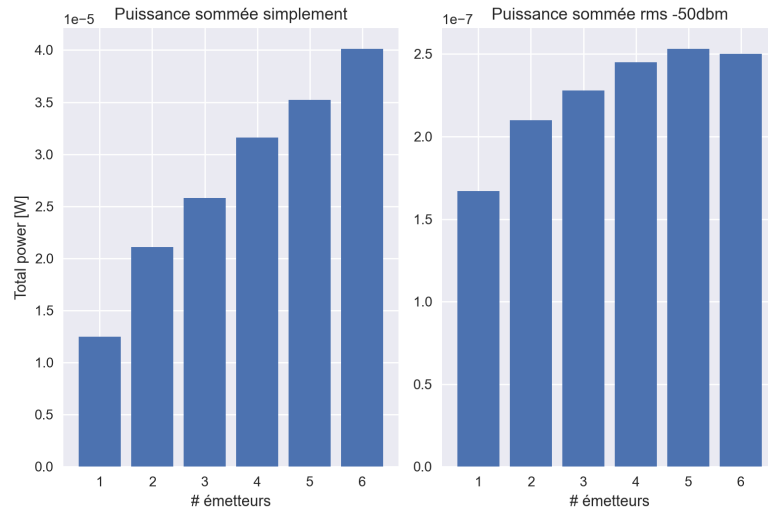


Fig. 9 Evolution de la puissance totale et de la couverture

Attention, sur la figure 9 les fonctions coût sont différentes.

- A gauche: on effectue une somme simple, non bornée aux valeurs $< -50dbm$ mais plutôt à $< -40dbm$. Ce qui donne une somme exacte de la puissance reçue.
- A droite: on utilise la fonction coût rms de 6.2 avec cette restriction aux valeurs $< -50dbm$ qui traduira donc mieux la qualité de la couverture.

A gauche, la fonction coût est une simple sommation des puissances, à droite, on a la fonction coût comme décrite avant en *rms*.

La figure 9 montre que placer 2 émetteurs est un minimum et qu'on atteint une presque saturation à partir de 4 du critère de couverture rms qui s'explique par le plafond à

-50dbm dans la sommation. Cette saturation traduit bien que au delà de 4 émetteurs, la couverture à plus de -50dbm ($\sim 10Gb/s$) est assurée presque partout.

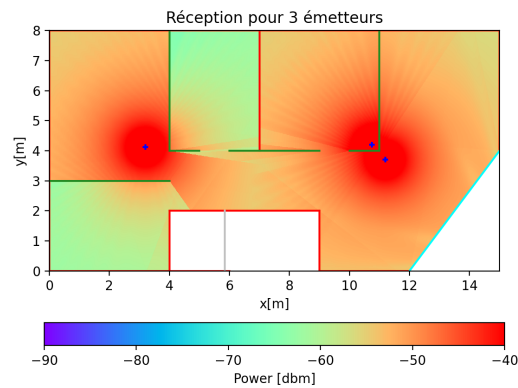
La solution à 4 émetteurs ne permet pas de couvrir parfaitement une des pièces (voir 7.1.2). Celle-ci étant relativement petite, elle pourrait servir de salle à machines à cafés qui ne requiert par la meilleure réception.

Si la couverture parfaite de tout l'étage est requise, Il suffit de passer à la solution à 5 émetteurs (voir 7.1.3)

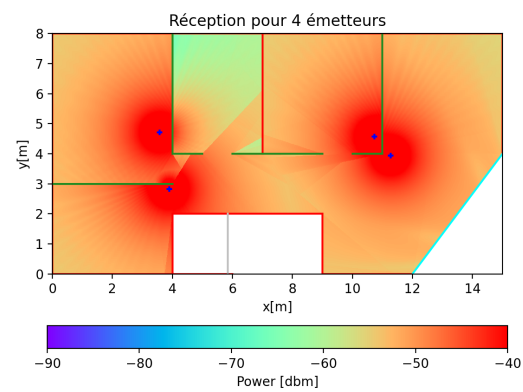
7 Annexes

7.1 Plus d'émetteurs

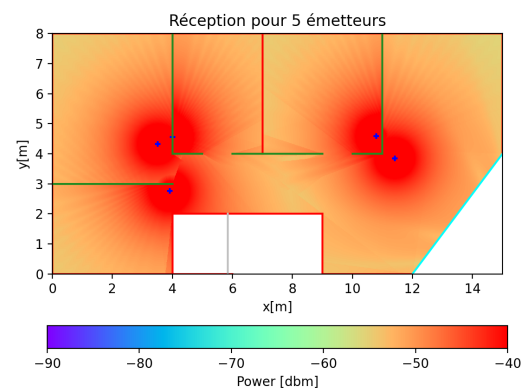
7.1.1 Trois émetteurs



7.1.2 Quatre émetteurs

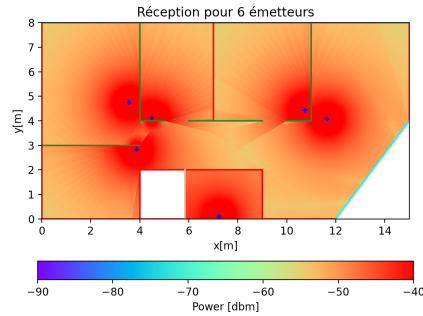


7.1.3 Cinq émetteurs



A partir de 5 émetteurs, le temps de calcul devient vraiment long, pour une `pop_size` = 40 l'algorithme fait appel 212811 fois à la fonction `get_power()`

7.1.4 Six émetteurs



Avec 6 émetteurs on commence à remplir des espaces inutiles comme la zone de l'ascenseur.

7.2 Code

7.2.1 Main

```
1 from world import world
2 from grid_solver import *
3 from display import image
4 from optimizer import *
5 from data import *
6 from rays import *
7
8 """ Allocating and transferring gpu memory for walls """
9 world.allocate()
10 world.transfer()
11
12 """ Optimisation """
13 grid = Grid(n)
14 grid.generate_grid()
15 result = txs_optimize(grid)
16 print(result) # contains information like number of iteration, optimal position
17               and cost function value
18 print("rms : ", grid.get_rms())
19 print("total : ", grid.get_total())
20
21 """ Use the optimized positions and
22 display it with a better resolution """
23 del grid # freeing old data
24 dim.update(0.5) # updating the resolution
25 precise_grid = Grid(n)
26 precise_grid.generate_grid()
27 txs = result.x.astype(np.float32) # to use the optimized txs
28 # txs = tx.to_numpy() # to use the tx defined in data
29 precise_grid.fill_power(txs)
30 precise_grid.power_to_dbm() # fills array of dbm
```

```

30 precise_grid.dbm_to_binary() # fills array of binary debit
31
32 """ Rays """
33 # rays.init_after_world(world, tx, rx)
34 # test_rays(rays)
35
36 """ Extract images """
37 image.re_init()
38 # image.draw_rays(rays)
39 image.plot_function(precise_grid.rx_powers_dbm.to_numpy(), "dbm")
40 image.plot_emitters(txs)
41 image.show()
42 image.extract(f"./exports/{n}_dbm.png")
43 image.re_init()
44 image.plot_function(precise_grid.rx_binary.to_numpy(), "binary")
45 image.plot_emitters(txs)
46 image.show()
47 image.extract(f"./exports/{n}_bin.png")

```

7.2.2 Grid Solver

```

1 from utils import *
2 from data import *
3 from unit_solver import calculate_power
4 from world import world
5
6
7 @ti.data_oriented
8 class Grid:
9     def __init__(self, n):
10         self.rx_centers = ti.Vector.field(2, dtype=ti.f32)
11         self.rx_powers_n = ti.field(ti.f32)
12         self.rx_powers = ti.field(ti.f32) # where the best from rx_powers_n is
13         extracted
14         self.rx_powers_dbm = ti.field(ti.f32) # converted to dbm
15         self.rx_binary = ti.field(ti.f32) # converted to binary debit
16         self.n = n # number of emitters
17         ti.root.dense(ti.ijk, (dim.y, dim.x, n)).place(self.rx_powers_n)
18         ti.root.dense(ti.ij, (dim.y, dim.x)).place(self.rx_centers)
19         ti.root.dense(ti.ij, (dim.y, dim.x)).place(self.rx_powers, self.
20 rx_powers_dbm, self.rx_binary) # AoS
21
22 @ti.kernel
23 def generate_grid(self) -> ti.i32:
24     # fills the rx_centers array with all rx coordinate with respect to cell
25     size
26     for i, j in self.rx_centers:
27         x = dim.cell_size / 2.0 + j * dim.cell_size
28         y = dim.cell_size / 2.0 + i * dim.cell_size
29         self.rx_centers[i, j] = vec2([x, y])
30     return 0
31
32 @ti.kernel
33 def fill_power(self, txs: ti.types.ndarray(dtype=ti.f32, ndim=1)):
34     # accepting numpy array as pos makes the code slower here
35     # but since the optimization algorithm sends numpy arrays of positions
36     # this is still faster compared to manual conversion
37     for i, j, k in self.rx_powers_n:
38         # i, j are all the grid receiver points
39         # k is the chosen emitter in the n sized array
40         if self.rx_centers[i, j][0] >= 12.0 and self.rx_centers[i, j][1] <=
41 (4.0 / 3.0 * (self.rx_centers[i, j][0] - 12.0)):
42             # avoids unwanted area behind the glass panel
43             self.rx_powers_n[i, j, k] = 0.0
44         else:

```

```

41         self.rx_powers_n[i, j, k] = PRX0 * calculate_power(world, vec2([txs
[2*k], txs[2*k+1]]), self.rx_centers[i, j])
42
43     for i, j in self.rx_powers:
44         # we have the results for all emitters, now we need to take the best
ones
45         current_best = ti.f32(0.0)
46         # serialized
47         for k in range(self.n):
48             if self.rx_powers_n[i, j, k] > current_best:
49                 current_best = self.rx_powers_n[i, j, k]
50             self.rx_powers[i, j] = current_best
51
52 @ti.kernel
53 def power_to_dbm(self):
54     for i, j in self.rx_powers_dbm:
55         power = ti.f32(10.0) * log10(self.rx_powers[i, j] * 1e3)
56         if power < -90.0:
57             # under -90dbm, the receiver cannot process the signal
58             # therefore, we cut it there and place -inf dbm instead, equivalent
59             # to a power of 0
60             power = -tm.inf
61         elif power > -40.0:
62             # the receiver is limited to a reception of -40 dbm signal
63             power = -40.0
64         self.rx_powers_dbm[i, j] = power
65
66 @ti.kernel
67 def dbm_to_binary(self):
68     # translates the linear relationship of dbm to log(binary)
69     # and then converts it back to binary in GHz
70     for i, j in self.rx_binary:
71         dbm = self.rx_powers_dbm[i, j]
72         if -90 <= dbm <= -40:
73             bd_log = 6 + log10(50) + ((3 + log10(40) - log10(50))/50 * (dbm +
90))
74             bd = 10**bd_log * 1e-9
75             self.rx_binary[i, j] = bd
76
77 @ti.kernel
78 def get_rms(self) -> ti.f32:
79     # used in the cost function
80     rms = 0.0
81     # parallelized
82     for j in range(dim.x):
83         sub_total = 0.0
84         # serialized
85         for i in range(dim.y):
86             elem = self.rx_powers[i, j]
87             if elem >= P_MAX_50 or elem <= P_MIN:
88                 continue
89             else:
90                 sub_total = sub_total + ti.pow(elem, 2)
91             # has to be explicitly atomic
92             ti.atomic_add(rms, sub_total)
93     return ti.sqrt(rms)
94
95 @ti.kernel
96 def get_total(self) -> ti.f32:
97     total = 0.0
98     # parallelized
99     for j in range(dim.x):
100         sub_total = 0.0
101         # serialized
102         for i in range(dim.y):
103             elem = self.rx_powers[i, j]
104             if elem >= P_MAX_40 or elem <= P_MIN:
105                 continue

```



```

106         else:
107             sub_total = sub_total + elem
108             # has to be explicitly atomic
109             ti.atomic_add(total, sub_total)
110     return total

```

7.2.3 Optimizer

```

1 from grid_solver import *
2 from scipy.optimize import Bounds
3 from scipy.optimize import differential_evolution, direct, dual_annealing, shgo
4
5
6 def txs_cost_function(pos, grid):
7     for i in range(n):
8         if 0.0 <= pos[2*i] <= 5.0 and 2.90 <= pos[2*i+1] <= 3.10:
9             # to prevent the algorithm from placing the emitter inside this wall
10            return 0.0
11    grid.fill_power(pos.astype(np.float32))
12    return -grid.get_rms()
13
14
15 def get_bounds(n):
16     # filling bounds within where the algorithm can place emitters
17     bottom_left = [0.0 for _ in range(2*n)]
18     upper_right = []
19     for _ in range(n):
20         upper_right.append(15.0)
21         upper_right.append(8.0)
22     return Bounds(bottom_left, upper_right)
23
24
25 @measure_execution_time
26 def txs_optimize(grid):
27     bounds = get_bounds(grid.n)
28     result = differential_evolution(txs_cost_function, bounds, args=[grid],
29                                   strategy='best1bin', popsize=40)
30     return result

```

7.2.4 Unit Solver

```

1 from utils import *
2 from wall import Wall # importing static methods for coefficients calculation
3 from data import P_MAX_CL
4
5
6 @ti.func
7 def intersect(u, n, p1, q1, p2, q2):
8     # checks if there is an intersection between wall (u,n,p1,q1)
9     # and a ray (p2, q2)
10    value = False
11    if tm.sign((q2 - p1).dot(n)) != tm.sign((p2 - p1).dot(n)):
12        t = find_intersection(p1, u, p2, q2)
13        ip = Wall.point_on_wall(p1, u, t)
14        if tm.sign((ip - p1).dot(u)) != tm.sign((ip - q1).dot(u)):
15            value = True
16    return value
17
18
19 @ti.func
20 def dist(r0, u, p):

```

```

21     return ti.abs(u[1] * p[0] - u[0] * p[1] - u[1] * r0[0] + u[0] * r0[1])
22
23
24 @ti.func
25 def get_next_tx(r0, u, n, tx):
26     # gets the symmetric of tx by the wall plane (r0, u, n)
27     return tx - 2 * n * tm.sign((tx - r0).dot(n)) * dist(r0, u, tx)
28
29
30 @ti.func
31 def find_intersection(r0, u, p2, q2):
32     # this finds t, which will give the intersection point of the ray p2,q2
33     # and the wall (r0,u) by intersection = t * u
34     l = q2 - p2
35     dx = l[0]
36     dy = l[1]
37     t = (dy * (r0[0] - q2[0]) - dx * (r0[1] - q2[1])) / (dx * u[1] - dy * u[0])
38     return t
39
40
41 @ti.func
42 def bounce_cond(r0, n, p2, q2):
43     # basic condition to know if the bounce is physically possible
44     return tm.sign(n.dot(p2 - r0)) == tm.sign(n.dot(q2 - r0))
45
46
47 @ti.func
48 def wall_transmission(world, p2, q2, index1=-1, index2=-1):
49     # see which walls are in the way of the ray defined by p2, q2
50     # and calculates the total transmission coefficient for this ray
51     # index1, index2 are walls that we don't want to take into account
52     if index1 > index2:
53         index_temp = index1
54         index1 = index2
55         index2 = index_temp
56
57     transmission_factor_msq = ti.f32(1.0)
58     ray_normal = (q2 - p2).normalized()
59     for i in range(0, index1):
60         p1, q1 = world.r0[i], world.r1[i]
61         u, n = world.u[i], world.n[i]
62         if intersect(u, n, p1, q1, p2, q2):
63             transmission_factor_msq *= Wall.get_tn2(world, i, ray_normal)
64     for i in range(index1 + 1, index2):
65         p1, q1 = world.r0[i], world.r1[i]
66         u, n = world.u[i], world.n[i]
67         if intersect(u, n, p1, q1, p2, q2):
68             transmission_factor_msq *= Wall.get_tn2(world, i, ray_normal)
69     for i in range(index2 + 1, world.m):
70         p1, q1 = world.r0[i], world.r1[i]
71         u, n = world.u[i], world.n[i]
72         if intersect(u, n, p1, q1, p2, q2):
73             transmission_factor_msq *= Wall.get_tn2(world, i, ray_normal)
74     return transmission_factor_msq
75
76
77 @ti.func
78 def calculate_power(world, tx, rx):
79     # we avoid the problem of not being in "distant fields" hypothesis
80     # by limiting the power value to its base value at a distance of 1m
81     prx_temp = tm.clamp(1.0 / (tm.pow((rx - tx).norm(), 2)), 0.0, P_MAX_CL)
82
83     trans0_0 = wall_transmission(world, rx, tx)
84     prx = prx_temp * trans0_0
85
86     for i in range(world.m):
87         transmission_factor_msq = ti.f32(1.0)
88         reflexion_factor_msq = ti.f32(1.0)

```

```

89     r0_i, r1_i = world.r0[i], world.r1[i]
90     u_i, n_i = world.u[i], world.n[i]
91     tx1 = get_next_tx(r0_i, u_i, n_i, tx)
92     if bounce_cond(r0_i, n_i, tx, rx):
93         t = find_intersection(r0_i, u_i, tx1, rx)
94         ip = Wall.point_on_wall(r0_i, u_i, t)
95         if tm.sign((ip - r0_i).dot(u_i)) != tm.sign((ip - r1_i).dot(u_i)):
96             reflexion_factor_msq *= Wall.get_rn2(world, i, (ip - tx).normalized())
97
98     transmission_factor_msq *= wall_transmission(world, tx, ip, i) \
99         * wall_transmission(world, ip, rx, i)
100     prx_temp = tm.clamp(1.0 / ((rx - tx1).norm() ** 2), 0.0, P_MAX_CL)
101     prx += prx_temp * transmission_factor_msq * reflexion_factor_msq
102
103     for j in range(world.m):
104         if i == j:
105             continue
106         transmission_factor_msq = ti.f32(1.0)
107         reflexion_factor_msq = ti.f32(1.0)
108         r0_j, r1_j = world.r0[j], world.r1[j]
109         u_j, n_j = world.u[j], world.n[j]
110         if not bounce_cond(r0_j, n_j, tx1, rx):
111             continue
112         tx2 = get_next_tx(r0_j, u_j, n_j, tx1)
113         t2 = find_intersection(r0_j, u_j, tx2, rx)
114         ip2 = Wall.point_on_wall(r0_j, u_j, t2)
115         if tm.sign((ip2 - r0_j).dot(u_j)) == tm.sign((ip2 - r1_j).dot(u_j)):
116             continue
117         if not bounce_cond(r0_i, n_i, tx, ip2):
118             continue
119         t1 = find_intersection(r0_i, u_i, tx1, ip2)
120         ip1 = Wall.point_on_wall(r0_i, u_i, t1)
121         if tm.sign((ip1 - r0_i).dot(u_i)) == tm.sign((ip1 - r1_i).dot(u_i)):
122             continue
123         reflexion_factor_msq *= Wall.get_rn2(world, i, (ip1 - tx).normalized())
124         \
125         * Wall.get_rn2(world, j, (ip2 - ip1).normalized())
126
127     transmission_factor_msq *= wall_transmission(world, tx, ip1, i) \
128         * wall_transmission(world, ip1, ip2, j, i) \
129         * wall_transmission(world, ip2, rx, j)
130     prx_temp = tm.clamp(1.0 / ((rx - tx2).norm() ** 2), 0.0, P_MAX_CL)
131     prx += prx_temp * reflexion_factor_msq * transmission_factor_msq
132
133 return prx

```

7.2.5 World

```

1 from wall import *
2 from materials import *
3
4
5 @ti.data_oriented
6 class World:
7     def __init__(self):
8         self.walls = []
9         self.m = 0
10        self.colors = []
11
12    def add(self, wall):
13        self.walls.append(wall)
14        self.colors.append(wall.color) # walls will be deleted so we store color
15        separately
16
17    def allocate(self):
18        self.m = len(self.walls)

```

```

18         self.r0 = ti.Vector.field(2, dtype=ti.f32)
19         self.r1 = ti.Vector.field(2, dtype=ti.f32)
20         self.u = ti.Vector.field(2, dtype=ti.f32)
21         self.n = ti.Vector.field(2, dtype=ti.f32)
22         self.l = ti.field(dtype=ti.f32)
23         self.gamma = ti.Vector.field(2, dtype=ti.f32)
24         self.Z = ti.Vector.field(2, dtype=ti.f32)
25         self.eps_r = ti.field(dtype=ti.f32)
26         ti.root.dense(ti.i, self.m).place(
27             self.r0, self.r1, self.u, self.n, self.l, self.gamma, self.Z, self.
eps_r
28         )
29
30     def transfer(self):
31         for i in range(self.m):
32             self.r0[i] = self.walls[i].r0
33             self.r1[i] = self.walls[i].r1
34             self.u[i] = self.walls[i].u
35             self.n[i] = self.walls[i].n
36             self.l[i] = self.walls[i].l
37             self.gamma[i] = self.walls[i].gamma
38             self.Z[i] = self.walls[i].Z
39             self.eps_r[i] = self.walls[i].eps_r
40         del self.walls # frees the unused dynamic memory of walls
41
42     def draw_walls(self, ax):
43         for i in range(self.m):
44             x = [self.r0[i][0], self.r1[i][0]]
45             y = [self.r0[i][1], self.r1[i][1]]
46             ax.plot(x, y, self.colors[i])
47
48
49 world = World()
50
51
52 def concrete_wall(r0, r1):
53     world.add(Wall(r0, r1, 0.3, concrete))
54
55
56 def division_wall(r0, r1):
57     world.add(Wall(r0, r1, 0.1, division))
58
59
60 concrete_wall([0., 0.], [0., 8.]) # 0
61 concrete_wall([0., 8.], [15., 8.]) # 1
62 concrete_wall([15., 8.], [15., 4.]) # 2
63 concrete_wall([15., 4.], [7., 4.]) # 3
64 concrete_wall([7., 4.], [9., 0.]) # 4
65 concrete_wall([9., 0.], [9., 2.]) # 5
66 concrete_wall([9., 2.], [4., 2.]) # 6
67 concrete_wall([4., 2.], [4., 0.]) # 7
68 concrete_wall([4., 0.], [0., 0.]) # 8
69
70 division_wall([0., 3.], [4., 3.]) # 9
71 division_wall([4., 8.], [4., 4.]) # 10
72 division_wall([4., 4.], [5., 4.]) # 11
73 division_wall([6., 4.], [9., 4.]) # 12
74 division_wall([10., 4.], [11., 4.]) # 13
75 division_wall([11., 4.], [11., 8.]) # 14
76
77 world.add(Wall([12., 0.], [15., 4.], 0.05, glass)) # 15
78
79 world.add(Wall([5.85, 0.], [5.85, 2.], 0.05, metal)) # 16
80
81 """
82 world.add(Wall([4.25, 0.25], [5.75, 0.25], 0.05, metal)) # elevator
83 world.add(Wall([5.75, 0.25], [5.75, 1.75], 0.05, metal)) # elevator
84 world.add(Wall([5.75, 1.75], [4.25, 1.75], 0.05, metal)) # elevator

```

```

85 world.add(Wall([4.25, 1.75], [4.25, 0.25], 0.05, metal)) # elevator
86 """
87
88
89
90 """
91 Test set
92 """
93 # world.add(Wall([0, 20], [0, 80], 0.15, concrete))
94 # world.add(Wall([80, 80], [0, 80], 0.15, concrete))
95 # world.add(Wall([0, 20], [80, 20], 0.15, concrete))

```

7.2.6 Wall

```

1  from utils import *
2  from data import *
3
4  class Wall:
5      def __init__(self, r0, r1, l, material):
6          self.r0, self.r1 = vec2(r0), vec2(r1) # conversion to taichi types
7          self.u = (self.r1 - self.r0).normalized() # wall unit tangent
8          self.n = vec2([self.u[1], -1.0 * self.u[0]]).normalized() # wall unit
          normal
9          self.l = l # wall thickness
10         self.gamma = vec2([material.gamma.real, material.gamma.imag])
11         self.Z = vec2([material.Z.real, material.Z.imag])
12         self.eps_r = material.eps_r
13         self.color = material.color
14
15
16     @staticmethod
17     @ti.func
18     def get_angles_and_s(world, wall_id, d0n):
19         n = world.n[wall_id]
20         l = world.l[wall_id]
21         eps_r = world.eps_r[wall_id]
22
23         cos_i = ti.abs(n.dot(d0n)) # incident
24         sin_i = ti.sqrt(1.0 - ti.pow(cos_i, 2))
25         sin_t = sin_i / ti.sqrt(eps_r) # transmission (inside the object)
26         cos_t = ti.sqrt(1.0 - ti.pow(sin_t, 2))
27         s = l / cos_t # distance travelled in the wall
28
29         return cos_i, sin_i, cos_t, sin_t, s
30
31     @staticmethod
32     @ti.func
33     def get_r(Z, cos_i, cos_t):
34         # reflexion coefficient for perpendicular (to the propagation plane)
          polarisation
35         # and for a single plane
36         a = Z * cos_i
37         b = vec2([Z0 * cos_t, 0.0])
38         return tm.cdiv(a - b, a + b)
39
40     @staticmethod
41     @ti.func
42     def get_tn2(world, wall_id, d0n):
43         # squared modulus of transmission factor through an actual wall
44         gamma = world.gamma[wall_id]
45         Z = world.Z[wall_id]
46         cos_i, sin_i, cos_t, sin_t, s = Wall.get_angles_and_s(world, wall_id, d0n)
47         r = Wall.get_r(Z, cos_i, cos_t)
48         r2 = tm.cpow(r, 2)
49         a = tm.cexp(-s * gamma)

```

```

50         a2 = tm.cpow(a, 2)
51         b = tm.cexp(vec2([0.0, 2.0 * BETA0 * s * sin_i * sin_t]))
52         tn = tm.cdiv(tm.cmul(re_unit - r2, a), re_unit - tm.cmul(tm.cmul(r2, a2), b
53     ))
54     tn2 = tn.norm_sqr()
55     if tm.isnan(tn2):
56         tn2 = 0.0
57     return tn2
58
59 @staticmethod
60 @ti.func
61 def get_rn2(world, wall_id, d0n):
62     # squared modulus of reflexion factor on an actual wall
63     gamma = world.gamma[wall_id]
64     Z = world.Z[wall_id]
65     cos_i, sin_i, cos_t, sin_t, s = Wall.get_angles_and_s(world, wall_id, d0n)
66     r = Wall.get_r(Z, cos_i, cos_t)
67     r2 = tm.cpow(r, 2)
68     b = tm.cexp(-2 * gamma * s + 2 * im_unit * BETA0 * s * sin_t * sin_i)
69     rn = r - tm.cdiv(tm.cmul(re_unit - r2, tm.cmul(r, b)), (re_unit - tm.cmul(r2,
70     b)))
71     rn2 = rn.norm_sqr()
72     if tm.isnan(rn2):
73         rn2 = 0.0
74     return rn2
75
76 @staticmethod
77 @ti.func
78 def point_on_wall(r0, u, t):
79     return r0 + t * u

```

7.2.7 Materials

```

1  from data import *
2
3
4  class Material:
5      def __init__(self, eps_r, sig, color):
6          self.eps_r = eps_r # relative permittivity
7          self.sig = sig # conductivity
8          self.eps = eps_r * EPS0
9          self.t_eps = eps_r * EPS0 - 1.0j * (sig / OMEGA)
10         self.Z = np.sqrt(MU0 / self.t_eps)
11         self.gamma = 1.0j * OMEGA * np.sqrt(MU0 * self.t_eps)
12         self.color = color
13
14
15 brick = Material(3.95, 0.073, "firebrick")
16 concrete = Material(6.4954, 1.43, "red")
17 division = Material(2.7, 0.05346, "forestgreen")
18 glass = Material(6.3919, 0.00107, "aqua")
19 metal = Material(1.0, 1.0 * 1e7, "silver")
20
21
22 """Sample exercise data"""
23 # concrete = Material(4.8, 0.018)

```

7.2.8 Display

```

1  from utils import *
2  from world import world

```

```

3 from data import *
4
5
6 class Image:
7     def __init__(self):
8         self.x = np.arange(dim.cell_size/2, x_size, dim.cell_size)
9         self.y = np.arange(dim.cell_size/2, y_size, dim.cell_size)
10        self.fig, self.ax = plt.subplots()
11
12    def re_init(self):
13        self.fig.clf()
14        self.x = np.arange(dim.cell_size/2, x_size, dim.cell_size)
15        self.y = np.arange(dim.cell_size/2, y_size, dim.cell_size)
16        self.fig, self.ax = plt.subplots()
17
18    @measure_execution_time
19    def plot_function(self, values, plot_type):
20        cmap = plt.colormaps["rainbow"] # magma
21
22        if plot_type == "binary":
23            im = self.ax.pcolormesh(self.x, self.y, values, cmap=cmap, shading='
24            nearest', vmin=B_MIN, vmax=B_MAX)
25            self.fig.colorbar(im, ax=self.ax, orientation='horizontal', label="
26            Debit Binaire [Gb/s]")
27        else:
28            im = self.ax.pcolormesh(self.x, self.y, values, cmap=cmap, shading='
29            nearest', vmin=-90, vmax=-40)
30            self.fig.colorbar(im, ax=self.ax, orientation='horizontal', label="
31            Power [dbm]")
32
33        im.set_mouseover(True)
34
35        self.ax.set_title(f"Reception pour {n} emetteur{'s' if n > 1 else ''}")
36        self.ax.set_xlabel("x[m]")
37        self.ax.set_ylabel("y[m]")
38        self.ax.set_aspect('equal')
39        world.draw_walls(self.ax)
40
41    def draw_rays(self, rays):
42        rays.draw_rays_mpl(self.ax)
43
44    def plot_emitters(self, txs):
45        for i in range(int(len(txs)/2)):
46            self.ax.scatter(txs[2*i], txs[2*i+1], s=20, color='blue', marker="+")
47
48    @staticmethod
49    def show():
50        plt.show()
51
52    def extract(self, filename):
53        self.fig.savefig(filename, format='png')
54
55 image = Image()

```

7.2.9 Rays

```

1 from utils import *
2 from data import *
3 from world import world
4 from unit_solver import *
5
6
7 @ti.data_oriented
8 class Rays:

```

```

9     def init_after_world(self, world, tx, rx):
10         self.tx = tx
11         self.rx = rx
12         self.m = world.m
13         self.b1_ip = ti.Vector.field(2, dtype=ti.f32, shape=self.m)
14         self.b2_ip1 = ti.Vector.field(2, dtype=ti.f32)
15         self.b2_ip2 = ti.Vector.field(2, dtype=ti.f32)
16         ti.root.dense(ti.ij, self.m**2).place(self.b2_ip1, self.b2_ip2)
17
18     @measure_execution_time
19     def draw_rays_mpl(self, ax):
20         actual_rays = 0
21         x = [self.tx[0], self.rx[0]]
22         y = [self.tx[1], self.rx[1]]
23         ax.plot(x, y, 'r-')
24         actual_rays += 1
25         for i in range(self.m):
26             if self.b1_ip[i][0] != 0.0 or self.b1_ip[i][1] != 0.0:
27                 # if the rays has not been filled, its default value is 0.0 and it
28                 gets ignored
29                 x = [self.tx[0], self.b1_ip[i][0], self.rx[0]]
30                 y = [self.tx[1], self.b1_ip[i][1], self.rx[1]]
31                 ax.plot(x,y,'b-', linewidth=0.7)
32                 actual_rays += 1
33                 for j in range(self.m):
34                     if self.b2_ip1[i,j][0] != 0.0 or self.b2_ip1[i,j][1] != 0.0 or self
35                     .b2_ip2[i,j][0] != 0.0 or self.b2_ip2[i,j][1] != 0.0:
36                         x = [self.tx[0], self.b2_ip1[i, j][0], self.b2_ip2[i, j][0],
37                         self.rx[0]]
38                         y = [self.tx[1], self.b2_ip1[i, j][1], self.b2_ip2[i, j][1],
39                         self.rx[1]]
40                         ax.plot(x, y, 'g-', linewidth=0.7)
41                         actual_rays += 1
42                     ax.plot(self.tx[0], self.tx[1], 'go')
43                     ax.plot(self.rx[0], self.rx[1], 'ro')
44                     print(f"total rays: {actual_rays}")
45
46 rays = Rays()
47
48 @ti.func
49 def calculate_power_rays(world, rays):
50     # this calculate_power function is modified to store rays points
51     # and prints out partial powers at each step (0,1,2) reflexions
52     tx = rays.tx
53     rx = rays.rx
54     # d0 = rx - tx
55     # Prx_temp = tm.clamp(PRX0 / (d0.norm() ** 2), 0.0, PRX0)
56     # trans0_0 = wall_transmission(world, rx, tx)
57     # Prx = Prx_temp * trans0_0
58     # print(f"direct : Prx {Prx:.3E}")
59
60     for i in range(world.m):
61         # transmission_factor_msq = ti.f32(1.0)
62         # reflexion_factor_msq = ti.f32(1.0)
63         r0_i, r1_i = world.r0[i], world.r1[i]
64         u_i, n_i = world.u[i], world.n[i]
65         tx1 = get_next_tx(r0_i, u_i, n_i, tx)
66         if bounce_cond(r0_i, n_i, tx, rx):
67             t = find_intersection(r0_i, u_i, tx1, rx)
68             ip = Wall.point_on_wall(r0_i, u_i, t)
69             if tm.sign((ip - r0_i).dot(u_i)) != tm.sign((ip - r1_i).dot(u_i)):
70                 # reflexion_factor_msq *= Wall.get_rn2(world, i, (ip-tx).normalized
71             ())
72             # transmission_factor_msq *= wall_transmission(world, tx, ip, i) \
73             # * wall_transmission(world, ip, rx, i)
74             # Prx_temp = tm.clamp(PRX0 / ((rx - tx1).norm() ** 2), 0.0, PRX0)

```



```

72         # Prx = Prx_temp * transmission_factor_msq * reflexion_factor_msq
73         # print(f"first bounce : wall {i} : Prx {Prx:.3E}")
74         rays.b1_ip[i] = ip
75
76     for j in range(world.m):
77         if i == j:
78             continue
79         # transmission_factor_msq = ti.f32(1.0)
80         # reflexion_factor_msq = ti.f32(1.0)
81         r0_j, r1_j = world.r0[j], world.r1[j]
82         u_j, n_j = world.u[j], world.n[j]
83         if not bounce_cond(r0_j, n_j, tx1, rx):
84             continue
85         tx2 = get_next_tx(r0_j, u_j, n_j, tx1)
86         t2 = find_intersection(r0_j, u_j, tx2, rx)
87         ip2 = Wall.point_on_wall(r0_j, u_j, t2)
88         if tm.sign((ip2 - r0_j).dot(u_j)) == tm.sign((ip2 - r1_j).dot(u_j)):
89             continue
90         if not bounce_cond(r0_i, n_i, tx, ip2):
91             continue
92         t1 = find_intersection(r0_i, u_i, tx1, ip2)
93         ip1 = Wall.point_on_wall(r0_i, u_i, t1)
94         if tm.sign((ip1 - r0_i).dot(u_i)) == tm.sign((ip1 - r1_i).dot(u_i)):
95             continue
96         rays.b2_ip1[i, j] = ip1
97         rays.b2_ip2[i, j] = ip2
98         # reflexion_factor_msq *= Wall.get_rn2(world, i, (ip1 - tx).normalized
99         #                                     * Wall.get_rn2(world, j, (ip2 - ip1).
100        normalized())
101        # transmission_factor_msq *= wall_transmission(world, tx, ip1, i) \
102        #                                     * wall_transmission(world, ip1, ip2, j, i)
103        \
104        #                                     * wall_transmission(world, ip2, rx, j)
105        # distance = (rx - ip2).norm() + (ip2 - tx1).norm()
106        # Prx_temp = tm.clamp(PRX0 / (distance ** 2), 0.0, PRX0)
107        # Prx = Prx_temp * reflexion_factor_msq * transmission_factor_msq
108        # print(f"second bounce : wall {i},{j} : Prx {Prx:.3E}")
109
110 @ti.kernel
111 def test_rays(rays: ti.template()):
112     # taichi function have to be used in a taichi kernel
113     calculate_power_rays(world, rays)

```

7.2.10 Data

```

1 from utils import *
2
3 P_MAX_40 = 1e-7 # = -40dbm
4 P_MAX_50 = 1e-8 # = -50 dbm
5 P_MIN = 1e-12 # = -90 dbm
6 B_MAX = 40.0 # binary debit in [GB/s]
7 B_MIN = 50 * 1e-3
8
9 P_MAX_CL = 1 / ((12.5 * 1e-3)**2)
10 # P_MAX_CL is the maximum power normalized by PRX0 (at the limit of
11 # the distant fields hypothesis)
12
13 PTX = 0.1 # emitter power [W]
14
15 ZO = 120 * np.pi # empty space impedance
16 EPS0 = 8.85418782e-12
17 MU0 = 4 * np.pi * 1e-7
18 C = 1.0 / np.sqrt(EPS0 * MU0)

```

```

19
20 FREQ = 6e10 # working frequency of 60Ghz
21
22 OMEGA = 2.0 * np.pi * FREQ
23 BETA0 = OMEGA * np.sqrt(MU0 * EPS0)
24 RAR = 73 # Emission Resistor (we neglect losses)
25 LAMBDA = C / FREQ
26 GP = (Z0 * PTX) / (np.pi * RAR) # Grx * Prx
27 PRX0 = (LAMBDA**2 * 60 * GP) / (8 * RAR * np.pi**2)
28
29 # floor dimensions
30 x_size = 15 # [m]
31 y_size = 8 # [m]
32
33
34 @ti.data_oriented
35 class Dimensions:
36     # containing relevant dimension data here allows for an easy update from
37     # anywhere in the code
38     def __init__(self, x_size, y_size, cell_size):
39         self.x_size = x_size
40         self.y_size = y_size
41         self.cell_size = cell_size
42         self.unit_step_density = 1.0/cell_size
43         self.x = int(self.unit_step_density * self.x_size)
44         self.y = int(self.unit_step_density * self.y_size)
45
46     def update(self, cell_size):
47         self.cell_size = cell_size
48         self.unit_step_density = 1.0/cell_size
49         self.x = int(self.unit_step_density * self.x_size)
50         self.y = int(self.unit_step_density * self.y_size)
51
52
53 dim = Dimensions(x_size, y_size, 0.2)
54
55 n = 1 # number of emitters
56
57 # to use with Rays
58 tx = vec2([9.4, 1.0])
59 # rx = vec2([8.0, 6.0])
60 rx = vec2([2.0, 5.0])
61
62 """Sample exercise data"""
63 # PTX = 1e-3
64 # FREQ = 868.3e6
65 #
66 # OMEGA = 2.0 * np.pi * FREQ
67 # BETA0 = OMEGA * np.sqrt(MU0 * EPS0)
68 # LAMBDA = C / FREQ
69 # GP = (Z0 * PTX) / (np.pi * RAR)
70 # PRX0 = (LAMBDA**2 * 60 * GP) / (8 * RAR * np.pi**2)
71 #
72 # x_size = 80
73 # y_size = 90
74 # cell_size = 0.5
75 # unit_step_density = (1/cell_size)
76 # x_dimension = int(unit_step_density * x_size)
77 # y_dimension = int(unit_step_density * y_size)
78 # rx = vec2([47.0, 65.0])
79 # tx = vec2([32.0, 10.0])

```

7.2.11 Utils

```

1 import taichi as ti

```

```

2 import taichi.math as tm
3 import numpy as np
4 import matplotlib.pyplot as plt
5 import matplotlib as mpl
6 import time
7 mpl.rcParams['figure.dpi'] = 200
8
9 ti.init(arch=ti.gpu,
10         offline_cache=True,
11         offline_cache_max_size_of_files=10**6,
12         offline_cache_file_path='./cache/'
13     )
14
15 vec2 = ti.math.vec2
16
17 re_unit = vec2([1.0, 0.0])
18 im_unit = vec2([0.0, 1.0])
19
20 log2log10 = np.log2(10.0)
21
22
23 @ti.func
24 def log10(x):
25     return tm.log2(x)/log2log10
26
27
28 def measure_execution_time(func):
29     # decorator to measure a function's time to execute
30     def wrapper(*args, **kwargs):
31         start_time = time.time()
32         result = func(*args, **kwargs)
33         end_time = time.time()
34         execution_time = end_time - start_time
35         print(f"Function {func.__name__} took {execution_time:.2E} seconds to
36             execute")
37         return result
38     return wrapper

```